

# Oscilador amortiguado forzado

Gonzalo Bastos González

## 1. Oscilador amortiguado

Partiremos de un péndulo de Pohl descrito por la ecuación:

$$\theta(t) = \theta_0 e^{-\gamma t} \cos(\omega_1 t) \quad (1)$$

Donde  $\theta_0$  es la amplitud inicial del péndulo,  $\omega_1$  la frecuencia y  $\gamma$  es el coeficiente de amortiguamiento. Los máximos de amplitud vendrán dados por la ecuación:

$$\theta_{max}(t) = \theta_0 e^{-\gamma t} \quad (2)$$

### 1.1. Obtención experimental de $\omega_1$ y $\gamma$

El coeficiente  $\gamma$  de amortiguamiento es característico del movimiento de un oscilador armónico sometido a una fuerza de rozamiento del tipo  $F = -kx$ , siendo  $\gamma$  directamente proporcional a la fuerza. En nuestro caso el amortiguamiento está causado principalmente por el electroimán, que crea las denominadas como corrientes de Foucault al suministrarle una intensidad de corriente  $I$ . Para el estudio de nuestro oscilador vamos a obtener el valor de  $\omega_1$  de forma directa a partir del tiempo de  $n$  oscilaciones y vamos a calcular  $\gamma$  mediante un ajuste a la ecuación (2).

Antes de empezar a exponer las medidas tomadas es importante explicar brevemente la escala de medida del péndulo de Pohl. El péndulo cuenta con una serie de marcas que van desde  $-20$  a  $20$  a intervalos de  $0,2$  y representan el ángulo  $\theta$  de oscilación, pero las unidades de este ángulo son arbitrarias.

Otro aspecto importante a tratar antes de exponer las medidas son las incertidumbres empleadas. Para las frecuencias  $\omega_1$  la incertidumbre vendrá de la medida del tiempo de  $n$  oscilaciones a partir de propagación, tomaremos como incertidumbre de los tiempos medidos el doble del tiempo medio de reacción a un estímulo visual, ya que consideramos que el error aumentaba al tener que coordinarnos entre los compañeros para poner en marcha el péndulo, por tanto  $s(t) = 0,5$  s. Para los valores de ángulo del péndulo la incertidumbre será la longitud del intervalo de medida más pequeño, por lo que  $s(\theta) = 0,2$ . Por último, la incertidumbre de la intensidad viene dada por el polímetro empleado para medirla,  $s(I) = 0,01$  A.

Mediremos los valores de  $\omega_1$  para diferentes valores de intensidad, comenzando con  $I_1 = 0$ . Medimos el tiempo para  $n = 30$  oscilaciones en 4 ocasiones y calculamos la media. A partir de ahí calculamos  $\omega_1$  y su incertidumbre:

$$\begin{aligned} \omega_1 &= \frac{2\pi n}{t} \Rightarrow s(\omega_1) = \frac{s(t)}{t^2} = 0,00016 \text{ s}^{-1} \\ \omega_{11} &= 3,330 \pm 0,030 \text{ s}^{-1} \end{aligned} \quad (3)$$

Para calcular  $\gamma$  (que depende solo del rozamiento del péndulo en este caso) vamos a ajustar los valores de amplitud máxima medidos en función del tiempo, tomando medidas cada dos períodos ( $T = 2\pi/\omega_1 = 1,887$  s). El ajuste será a una función del tipo  $\theta_{max} = ae^{-bt}$ , donde  $a$  es la amplitud inicial y  $b = \gamma$ . Obtuvimos los siguientes valores:

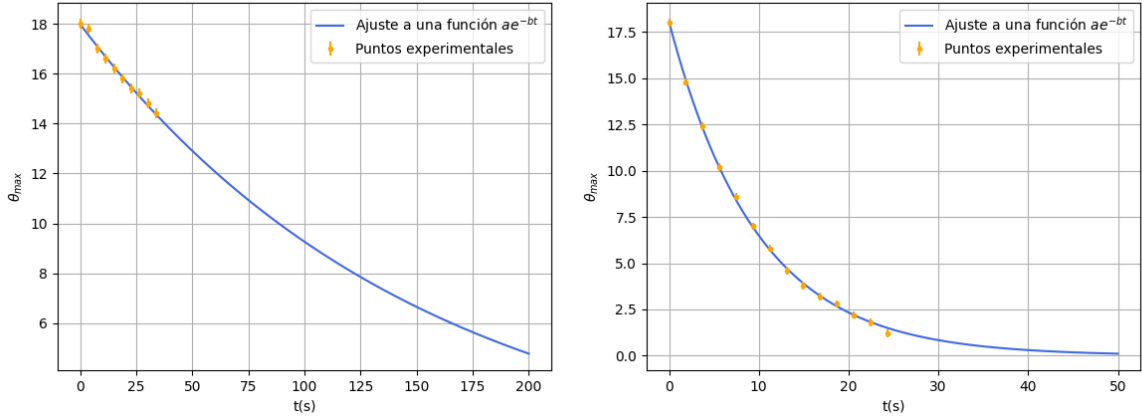
$$\begin{aligned} a &= \theta_0 = 17,998 \pm 0,075 \text{ u} \\ b &= \gamma_1 = 0,006642 \pm 0,00022 \text{ s}^{-1} \end{aligned} \quad (4)$$

Para  $I_2 = 0,3 \text{ A}$  tomamos 5 medidas con  $n = 10$  oscilaciones para calcular  $\omega_{12}$ . Para medir la amplitud máxima en función del tiempo medimos estos máximos para cada período:

$$\omega_{12} = \frac{2n\pi}{t} = 3,361 \pm 0,090 \text{ s}^{-1} \quad (5)$$

Para calcular  $\gamma$  vamos a ajustar los datos a una curva igual que la anterior, del tipo  $\theta_{max} = ae^{-bt}$  con  $a \equiv \theta_0$  y  $b \equiv \gamma$ . Obtuvimos que:

$$\begin{aligned} a = \theta_0 &= 18,04 \pm 0,10 \text{ u} \\ b = \gamma_2 &= 0,10221 \pm 0,00092 \text{ s}^{-1} \end{aligned} \quad (6)$$



(a) Medidas de  $\theta_{max}$  y ajuste para  $I = 0 \text{ A}$     (b) Medidas de  $\theta_{max}$  y ajuste para  $I = 0,3 \text{ A}$

Figura 1: Curvas de amplitudes máximas para  $I = 0$  y  $I = 0,3$

Para  $I_3 = 0,6 \text{ A}$  y todos los siguientes valores de intensidad medimos la amplitud máxima cada semiperíodo. Esto nos va a permitir realizar otros dos ajustes, ya que medimos los máximos y los mínimos ( $\theta_{min} = -\theta_0 e^{-\omega_1 t}$ ) de la amplitud. Gracias a esto podemos ajustar también a la función cuasiperiódica que describe el movimiento del oscilador, la Ec.1. Para medir  $\omega_1$  en este caso realizamos 5 medidas con  $n = 7$  oscilaciones.

$$\omega_{13} = \frac{2n\pi}{t} = 3,50 \pm 0,14 \text{ s}^{-1} \quad (7)$$

Para medir la amplitud en función de  $t$  tomamos como inicio el lado derecho del péndulo, por lo que  $\theta_0 > 0$  siempre y se corresponderá con  $a_{max}$ . Obtendremos también la curva para los mínimos y  $\theta(t)$ :

$$\begin{aligned} a_{max} = \theta_0 &= 17,44 \pm 0,38 & a_{min} = -\theta_0 &= -18,06 \pm 0,38 \\ b_{max} = \gamma &= 0,376 \pm 0,011 & b_{min} = \gamma &= 0,3812 \pm 0,0083 \end{aligned} \quad (8)$$

Para obtener una expresión para  $\theta(t)$  ajustaremos los datos a una curva del tipo  $\theta = \theta_0 e^{-bt} \cos(ct + d)$ , siendo  $b, c, d$  los parámetros a determinar.

$$\begin{aligned} b = \gamma &= 0,353 \pm 0,018 \text{ s}^{-1} \\ c = \omega_1 &= 3,584 \pm 0,021 \text{ s}^{-1} \\ d = \varphi_0 &= 0,147 \pm 0,069 \end{aligned} \quad (9)$$

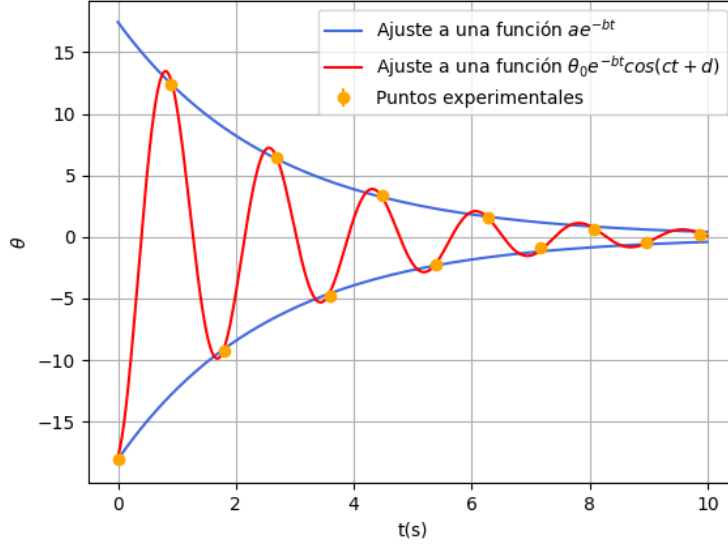


Figura 2: Medidas de  $\theta_{max}$  y ajustes para  $I = 0,6 A$

Para los últimos dos valores de intensidad,  $I_4 = 0,9 A$  y  $I_5 = 1,1 A$ , el procedimiento es análogo. Para  $I_4 = 0,9 A$  los resultados obtenidos fueron:

$$\begin{aligned} \omega_{14} &= 3,35 \pm 0,22 \text{ s}^{-1} \\ a_{max} = \theta_0 &= 19,80 \pm 0,71 \quad a_{min} = -\theta_0 = -18,02 \pm 0,68 \\ b_{max} = \gamma &= 0,707 \pm 0,022 \quad b_{min} = \gamma = 0,681 \pm 0,022 \end{aligned} \quad (10)$$

Los coeficientes de  $\theta(t)$  son:

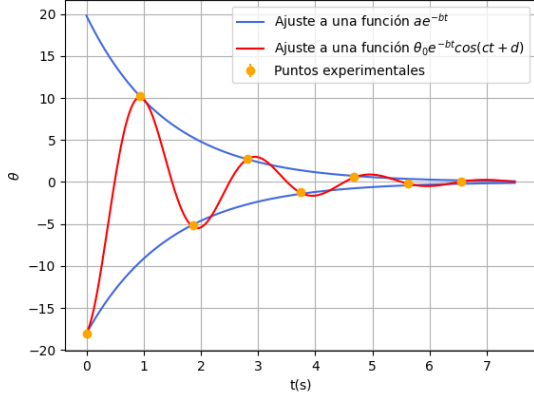
$$\begin{aligned} b = \gamma &= 0,602 \pm 0,041 \text{ s}^{-1} \\ c = \omega_1 &= 3,126 \pm 0,031 \text{ s}^{-1} \\ d = \varphi_0 &= 0,04 \pm 0,22 \end{aligned} \quad (11)$$

Para  $I_5 = 1,1 A$  obtuvimos que:

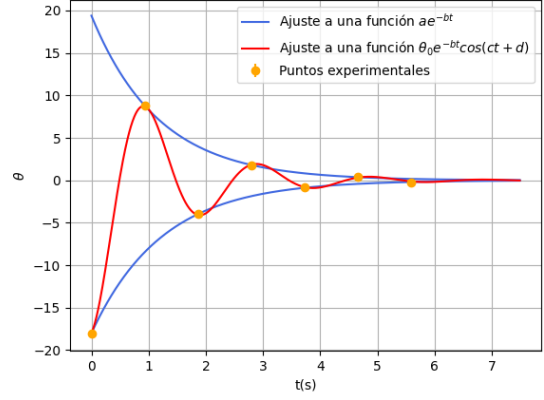
$$\begin{aligned} \omega_{15} &= 3,371 \pm 0,30 \text{ s}^{-1} \\ a_{max} = \theta_0 &= 19,39 \pm 0,85 \quad a_{min} = -\theta_0 = -18,00 \pm 0,058 \\ b_{max} = \gamma &= 0,8480 \pm 0,0082 \quad b_{min} = \gamma = 0,8112 \pm 0,0072 \end{aligned} \quad (12)$$

Los coeficientes de  $\theta(t)$  son:

$$\begin{aligned} b = \gamma &= 0,764 \pm 0,041 \text{ s}^{-1} \\ c = \omega_1 &= 3,177 \pm 0,034 \text{ s}^{-1} \\ d = \varphi_0 &= 0,02 \pm 0,23 \end{aligned} \quad (13)$$



(a) Amplitudes máximas y  $\theta(t)$  para  $I_4 = 0,9 \text{ A}$

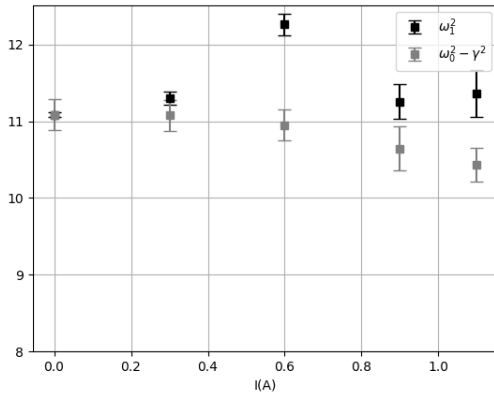


(b) Amplitudes máximas y  $\theta(t)$  para  $I_4 = 1,1 \text{ A}$

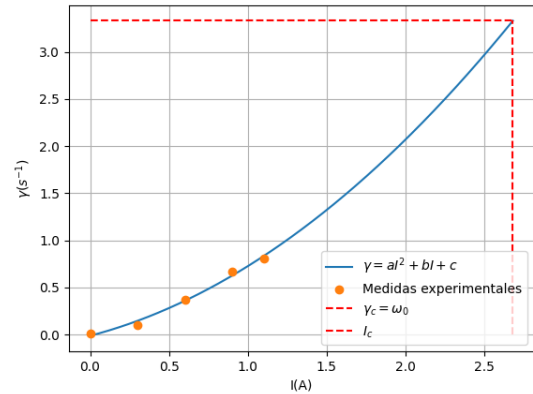
Figura 3: Ajustes no lineales para  $I = 0,9$  y  $I = 1,1$

## 1.2. Amortiguamiento crítico y comparación entre $\gamma$ y $\omega_1$

Una vez obtenidos los valores de  $\gamma$  y  $\omega_1$  podemos comprobar la veracidad de la ecuación  $\omega_1^2 = \omega_0^2 - \gamma^2$ . Para ello tomaremos  $\omega_0 \simeq \omega_{11}$  ( $I = 0 \text{ A}$ ). Siguiendo esta relación podemos obtener el valor del amortiguamiento crítico, aquel que anula el término  $\omega_1$  ( $\omega_0 = \gamma_c$ ). El valor  $\gamma_c$  se alcanza a una determinada intensidad que interpolaremos ajustando la relación  $\gamma(I)$  a una función cuadrática ( $\gamma(I) = aI^2 + bI + c$ ). En las siguientes gráficas podemos ver más claros los cálculos hechos.



(a) Comparación de los valores de  $\omega_1^2$  y  $\omega_0^2 - \gamma^2$



(b)  $\gamma(I) = aI^2 + bI + c$  y interpolación de la  $I_c$

Figura 4: Estudio del punto de amortiguamiento crítico

Como podemos ver en la primera gráfica la relación  $\omega_1^2 = \omega_0^2 - \gamma^2$  no queda del todo clara con las medidas realizadas, los valores de  $\omega_1$  medidos no decaen como era de esperar. Esto se puede explicar porque para valores más altos de intensidad medimos el tiempo para de un número pequeño de oscilaciones y el error humano a la hora de medir es en proporción mucho mayor. Por otro lado, después del ajuste cuadrático de  $\gamma(I)$  la intensidad crítica,  $I_c$ , que hace que  $\gamma_c = \omega_0$  es:

$$I_c = 2,680 \pm 0,015 \text{ A} \quad (14)$$

Este valor se aleja del medido en el laboratorio,  $I_c = 1,85 \pm 0,01 \text{ A}$

## 2. Oscilador forzado

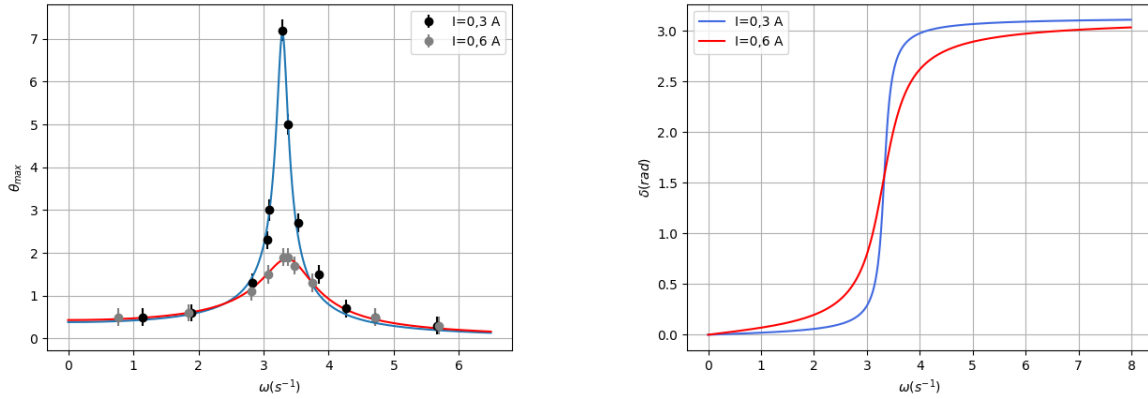
En esta parte de la práctica aplicaremos una fuerza periódica al péndulo procedente de un motor. La amplitud del péndulo depende de la frecuencia del motor,  $\omega$ , de la siguiente forma:

$$A(\omega) = \frac{F_0/J}{\sqrt{(\omega^2 - \omega_0^2)^2 + 4\gamma^2\omega^2}} \quad (15)$$

Donde  $F_0$  es la fuerza máxima,  $J$  el momento de inercia,  $\omega$  la frecuencia de la fuerza externa y  $\omega_0$  es la frecuencia natural del oscilador. La amplitud tiene un pico cuando  $\omega$  se acerca a la denominada frecuencia de resonancia ( $\omega_R$ ) que sigue la siguiente relación que verificaremos:

$$\omega_R = \sqrt{\omega_0^2 - 2\gamma^2} \quad (16)$$

Para comprobar este comportamiento medimos las amplitudes máximas para diferentes frecuencias tomando dos intensidades distintas, que provocaban diferentes valores de rozamiento,  $I_1 = 0,3 \text{ A}$  y  $I_2 = 0,6 \text{ A}$ . Para medir las amplitudes tomamos el valor medio entre el valor máximo de los dos lados del péndulo.



(a) Medidas experimentales de  $A(\omega)$  y ajuste a la Ec.15      (b) Aproximación de  $\delta(\omega)$  para los dos casos estudiados

Figura 5: Estudio de la resonancia de un oscilador forzado

A partir de la gráfica podemos ver la influencia de  $\gamma$  en la resonancia, siendo mayor a valores de  $\gamma$  bajos y atenuándose mucho cuando hay mucho rozamiento. Esto se puede cuantificar empleando el factor de calidad de nuestro oscilador, que se define como  $Q = \omega_R/\Delta\omega$ , siendo  $\Delta\omega$  la variación entre las frecuencias cuya amplitud es  $A = A_R/\sqrt{2}$ .

$$Q_1 = 16,288 \pm 0,026 \quad Q_2 = 4,716 \pm 0,016 \quad (17)$$

Otro aspecto interesante a estudiar es la simetría de la función (15) a ambos lados de su máximo, lo que implica estudiar los casos límite  $\omega \rightarrow 0$  y  $\omega \rightarrow \infty$ . En primer lugar para el caso  $\omega \rightarrow 0$  podemos ver que la amplitud tiende a un valor fijo ( $\frac{F_0}{J\omega_0}$ ), no se va a 0. La interpretación física de esto es que en ese caso límite no habría oscilación de la fuerza, esta sería constante y desplazaría al oscilador de su posición de equilibrio. Para el otro caso límite  $\omega \rightarrow \infty$  la amplitud sí que se va a 0. Este caso límite se puede entender mucho mejor si observamos el desfase ( $\delta$ ) que hay entre la fuerza externa y el oscilador. En el laboratorio hicimos un estudio cualitativo de esto, viendo que:

- En el caso  $\omega \rightarrow 0 \Rightarrow \delta \rightarrow 0$ , las oscilaciones están en fase.
- En el caso  $\omega \rightarrow \omega_R \Rightarrow \delta \rightarrow \pi/2$ , hay medio período de diferencia entre las oscilaciones.
- En el caso  $\omega \rightarrow \infty \Rightarrow \delta \rightarrow \pi$ , las oscilaciones están en oposición de fase.

Por tanto, podemos concluir que la función no es simétrica, pese a que en entornos próximos al máximo si que presenta una alta simetría. Este comportamiento se ve más claro en la Fig.5, que representa el desfase,  $\delta$ , en función de  $\omega$  a partir de la relación:

$$\delta = \arctan\left(\frac{2\gamma\omega}{\omega_0^2 - \omega^2}\right) \quad (18)$$

Los valores obtenidos a partir del ajuste para los coeficientes de la Ec.15 fueron:

$$\begin{aligned} (F_0/J)_{(1)} &= 4,15 \pm 0,21 \text{ s}^{-1} & \omega_{0(1)} &= 3,2920 \pm 0,0070 \text{ s}^{-1} & \gamma_{(1)} &= 0,0884 \pm 0,0060 \text{ s}^{-1} \\ (F_0/J)_{(2)} &= 5,01 \pm 0,24 \text{ s}^{-1} & \omega_{0(2)} &= 3,407 \pm 0,020 \text{ s}^{-1} & \gamma_{(2)} &= 0,397 \pm 0,022 \text{ s}^{-1} \end{aligned} \quad (19)$$

A partir de nuestro ajuste interpolamos el valor de  $\omega_R$  para las dos intensidades, que se corresponde con el valor de  $\omega$  que hace máxima la función. No tiene incertidumbre porque no se trata de un cálculo sino de una interpolación realizada con Python.

$$\omega_{R1}(I = 0,3 \text{ A}) = 3,2897 \text{ s}^{-1} \quad \omega_{R2}(I = 0,6 \text{ A}) = 3,3605 \text{ s}^{-1} \quad (20)$$

Con estos datos podemos verificar la relación (16), obteniendo resultados bastante satisfactorios. Pese a que no entran dentro del rango de incertidumbre, los valores de  $\omega_R^2$  se corresponden bastante con el valor que deberían tener según los valores de  $\gamma$  y  $\omega_0$  medidos anteriormente. En la siguiente tabla podemos ver también la comparación entre los valores de  $\gamma$  obtenidos del ajuste ( $\gamma_I$ ) y los obtenidos en los apartados anteriores ( $\gamma_E$ ). Para  $I = 0,6 \text{ A}$  tomamos como  $\gamma$  la media de el valor obtenido para los máximos y para los mínimos de amplitud.

	$\omega_R^2 (\text{s}^{-2})$	$\omega_0^2 - 2\gamma^2 (\text{s}^{-2})$	$\gamma_I (\text{s}^{-1})$	$\gamma_E (\text{s}^{-1})$
$I = 0,3 \text{ A}$	10,8221	$11,0652 \pm 0,0011$	$0,0884 \pm 0,0060$	$0,10221 \pm 0,00092$
$I = 0,6 \text{ A}$	11,293	$10,837 \pm 0,016$	$0,397 \pm 0,022$	$0,3786 \pm 0,047$

Tabla 1: Verificación de la relación  $\omega_R^2 = \omega_0^2 - 2\gamma^2$  y de los valores de  $\gamma$  obtenidos

### 3. Conclusión

Nuestra práctica se basa en el estudio de un movimiento oscilatorio que se ve sometido a una fuerza de rozamiento y una fuerza externa oscilante.

Cuando solo aplicamos el rozamiento pudimos obtener con éxito la función sinusoidal que describe el movimiento y la función a la que se ajustan los valores máximos de amplitud. Observamos también el fenómeno del amortiguamiento crítico, en el que pudimos ver una clara diferencia entre la  $I_c$  medida ( $1,85 \text{ A}$ ) y la obtenida a partir de la relación  $\gamma(I)(2,68 \text{ A})$ , que supusimos cuadrática.

Por otra parte, cuando aplicamos una fuerza externa oscilante nos centramos en estudiar el fenómeno de la resonancia, buscando la frecuencia que maximizaba la amplitud ( $\omega_R$ ). Pudimos observar también la relación entre esta amplificación y el amortiguamiento, en cuanto este subía la resonancia se volvía imperceptible.